

# Список литературы

- [1] Гликман Л. Г. // ЖТФ. 1984. Т. 54. Вып. 10. С. 1986—1991.
- [2] Доскеев Г. А., Спивак-Лавров И. Ф. // ЖТФ. 1989. Т. 59. Вып. 1. С. 144—153.
- [3] Гликман Л. Г., Спивак-Лавров И. Ф. // Изв. АН КазССР. Сер. физ.-мат. 1985. № 2. С. 75—83.

Актюбинский педагогический институт

Поступило в Редакцию

17 марта 1989 г.

В окончательной редакции  
20 января 1990 г.

06; 07

Журнал технической физики, т. 60, в. 9, 1990

© 1990 г.

## ОСОБЕННОСТИ ОБРАТНОГО ИОННОГО ОБМЕНА В Н : LiNbO<sub>3</sub> СВЕТОВОДАХ

B. A. Ганшин, Ю. Н. Коркишко

Ранее [1, 2] сообщалось о возможности протекания обратного ионного обмена во всех типах ионообменных структур, в частности процесса  $\text{Li}^+ \rightleftharpoons \text{H}^+$  в протонообменных Н : LiNbO<sub>3</sub> световодах при обработке их в расплаве нитрата лития LiNO<sub>3</sub>. Практическое значение процесса обратного протонного обмена (ОПО) состоит в том, что с его помощью могут быть изготовлены погруженные планарные световоды высокого оптического качества в кристаллах ниобата лития (НЛ). По сравнению с комбинированным процессом легирования НЛ титаном и окисью магния [3] метод ОПО изготовления погруженных структур имеет несомненные технологические преимущества.

В данной работе исследуются особенности протекания ОПО в структурах Н : LiNbO<sub>3</sub> на Z-срезе НЛ. С этой целью определялись и анализировались профили деформаций в структурах (метод кривых качания, дифрактометр ДРОН-0.5, монохроматор Si (333), излучение Cu K<sub>α1</sub>, регистрация вблизи угла отражения от плоскости (00.12) НЛ). По известной методике [4] для различных возможных функций распределения деформаций рассчитывались кривые качания (КК), которые затем сопоставлялись с экспериментальными и корректировались до наилучшего их совпадения. Определялись также профили показателя преломления (ППП) о-луча  $n(z)$  по глубине по спектру эффективных показателей преломления (ЭПП) TE-мод (ЭПП на длине волн 633 нм измеряли с помощью призмы из силиката висмута; ППП восстанавливали кусочно-линейной аппроксимацией в приближении ВКБ [5]).

Исходные структуры Н : LiNbO<sub>3</sub> для последующего ОПО были получены в расплаве дигидрофосфата аммония [6] при температуре 270 °C в течение 5 ч. Структуры поддерживали распространение 18 направляемых TM-мод. Процесс ОПО проводился в расплаве нитрата лития при температуре 270 °C. Для учета влияния сопутствующего обмену отжига одновременно при тех же условиях отжигался образец-спутник.

Расплав NH<sub>4</sub>H<sub>2</sub>PO<sub>4</sub>, согласно [7], является по отношению к НЛ сильнокислотным. В сформированных в нем световодных структурах концентрация протонов высока и часть из них находится в междоузлиях кристаллической решетки. Известно [7], что путем кратковременного отжига можно снизить эту концентрацию и получить световоды со свойствами, присущими образцам после легирования в слабокислотных расплавах, например в стеариновой кислоте. В этом смысле сильнокислотное легирование представляет собой наиболее общий случай протонно-литиевого обмена. Процесс его протекает с участием всех трех важнейших механизмов, а именно: продвижение фазы H<sub>x</sub>Li<sub>1-x</sub>NbO<sub>3</sub>, которая характеризуется определенным параметром деформации решетки НЛ и показателями преломления (ПП) (A); ионообменная диффузия  $\text{H}^+ \rightleftharpoons \text{Li}^+$  в этой фазе по механизму замещения (B1); то же, по межузельному механизму (B2); ионообменная диффузия  $\text{H}^+ \rightleftharpoons \text{Li}^+$  в твердом растворе в самом НЛ (за пределами фазы H<sub>x</sub>Li<sub>1-x</sub>NbO<sub>3</sub>) по механизму замещения (B).

На рис. 1, a представлены КК образцов после различного времени ОПО, на рис. 1, б — КК образцов-спутников после простого отжига. Видно, что в обоих случаях основной дифракционный пик остается неизменным. Форма же диффузионного пика претерпевает существенные изменения от времени процесса ОПО и отжига.

Сопоставление кривых 1—3 на рисунках показывает, что в течение первых двух часов ОПО протекает только благодаря обмену лития на межузельный водород. Эта стадия заканчивается стабилизацией области «чистой» фазы  $H_xLi_{1-x}NbO_3$  с постоянными и характерными для нее деформациями. Очевидно, ОПО здесь протекает с участием механизмов А и Б1, Б2. Полное вымывание межузельного водорода подтверждается также исчезновением полосы поглощения при  $3240 \text{ cm}^{-1}$  на ИК спектрах образцов.

Дальнейшая обработка образцов в расплаве нитрата лития (второй этап процесса) приводит к все более заметному вкладу в кинетику ОПО механизма В — обмена в восстановлен-

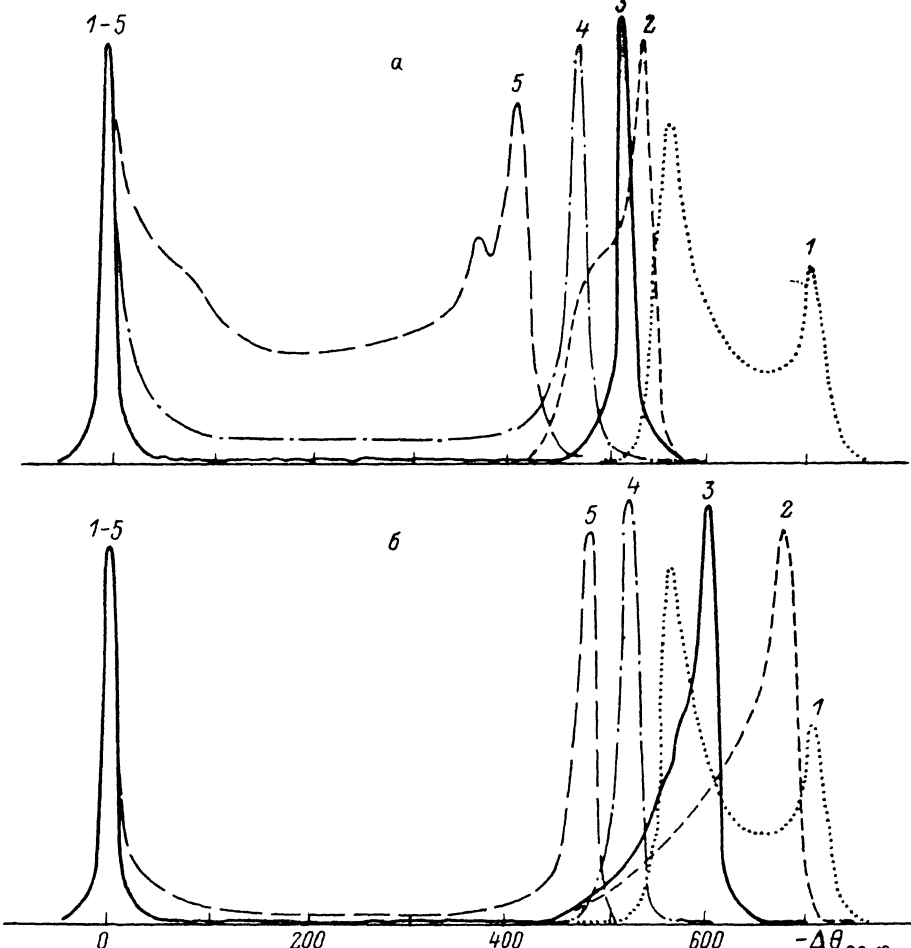


Рис. 1. Кривые качания от плоскостей (00.12)  $H : LiNbO_3$  структур после различных видов обработки при температуре  $270^\circ C$ .

а — обработка в  $LiNO_3$ , б — отжиг на воздухе при тех же условиях; 1 — исходный образец  $H : LiNbO_3$ ; 2—5 — время обработки 0.6, 2, 9, 30 ч соответственно.

ном кристалле, область которого постепенно нарастает вблизи поверхности. По КК 4, 5 видно, что максимальные деформации в образцах после ОПО снижаются в значительно большей степени, чем после отжига. Вместе с механизмом В действует также и Б2. Особо следует отметить, что последний не нарушает ступенчатое однородное распределение деформаций параметра решетки  $C$ .

Расчеты показали, что наблюдаемые экспериментально КК 4, 5 лучше всего соответствуют профилю деформаций вида

$$\Delta \epsilon_s (\epsilon_f - \epsilon_s) = \epsilon_f \cdot \exp(-z^a / 2 \sqrt{D} t) \quad (1)$$

с  $a > 1.1$ . Здесь  $t$  — время процесса ОПО;  $\epsilon_f$  — величина деформаций, характерная для фазы  $H_xLi_{1-x}NbO_3$ . Знаменатель в показателе экспоненты имеет вид характерного параметра диффузионного процесса с коэффициентом  $D$ . Величину последнего естественно связать

с коэффициентом взаимодиффузии ионов, который входит в уравнение ионообменного процесса [8]

$$\frac{\partial C_1}{\partial t} = \frac{\partial}{\partial z} \left( D \frac{\partial C_1}{\partial z} \right), \quad (2)$$

где  $D$  определяется соотношением

$$D = \frac{D_1 \cdot D_2}{D_1 \cdot C_1 + D_2 \cdot C_2}. \quad (3)$$

Здесь  $C_1, C_2$  — относительные концентрации входящего и выходящего ионов соответственно,  $D_1$  и  $D_2$  — коэффициенты их самодиффузии. В решение (2) обычно закладывается условие  $C_2 + C_1 = 1$ .

Известно [1, 9], что в прямом процессе  $\text{H}^+ \rightleftharpoons \text{Li}^+$  ПП необыкновенного луча повышается, а обыкновенного — понижается. Очевидно, при ОПО имеет место обратное. На рис. 2 представлены ППП о-луча двух образцов после ОПО при различных температурах. Установлено, что все ППП с высокой точностью аппроксимируются функцией типа (1), в которой вместо  $\Delta \epsilon_z$  и  $\epsilon_f$  следует подставлять приращение  $\Delta n(z) = n(z) - n_s$

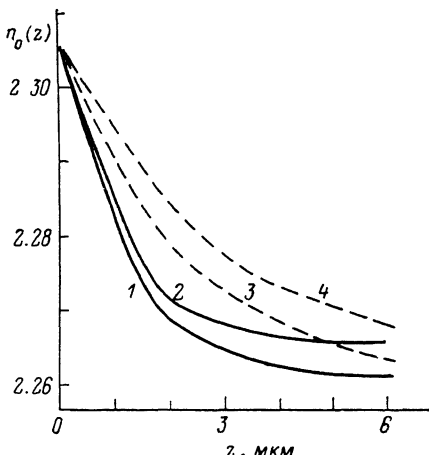


Рис. 2. Профили показателя преломления *o*-луча в  $\text{H} : \text{LiNbO}_3$  структурах после обратного обмена в расплаве  $\text{LiNO}_3$ .

1, 2 — 270 (температура процесса); 3, 4 — 315 °C; 1 — 85, 2 — 125, 3 — 22, 4 — 41 ч.

и максимальное его значение  $\Delta n_0$  соответственно;  $n_s$  — ПП о-луча подложки, роль которой по отношению к области ОПО выполняет фаза твердого раствора. С увеличением времени обработки  $n_s$  увеличивается, что объясняется уменьшением концентрации протонов в фазе. Анализ КК и величина ПП  $n_0$  на поверхности указывают на то, что область ОПО является по составу практически чистым НЛ.

Параметры, при которых достигается наилучшая аппроксимация ППП, следующие:  $a=1.6$ ,  $D=2.1 \cdot 10^{-14}$  см<sup>2</sup>/с при 270 °C и  $a=1.2$ ,  $D=1.6 \cdot 10^{-13}$  см<sup>2</sup>/с при 315 °C.

В предположении пропорциональности ППП и  $C(z)$  численно решалось уравнение (2) при различных значениях  $D_1$  и  $D_2$  и рассчитанная функция  $C(z)$  сравнивалась с экспериментальной. Наилучшее соответствие наблюдалось при  $D=4.0 \cdot 10^{-15}$ ,  $2.0 \cdot 10^{-14}$  см<sup>2</sup>/с при 270 °C и  $D=3.2 \cdot 10^{-13}$ ,  $1.6 \cdot 10^{-13}$  см<sup>2</sup>/с при 315 °C. Исходя из обычно принимаемого соотношения Аррениуса  $D=D_0 \exp(-Q/RT)$  рассчитана энергия активации  $Q$  и размерные параметры  $D_0$  для протонов и лития в твердом растворе на основе НЛ (вн. фазы): 122 кДж/моль, 0.012 см<sup>2</sup>/с и 258 кДж/моль,  $2.9 \cdot 10^{10}$  см<sup>2</sup>/с. На основании этих данных следует ожидать, что при температуре около 300 °C коэффициенты самодиффузии водорода и лития будут в указанном твердом растворе примерно равными. Соответственно ППП  $n(z)$  должен описываться дополнительной функцией ошибок.

Кроме представленных результатов, нами установлено также, что процесс ОПО в структурах  $\text{H} : \text{LiNbO}_3$ , полученных в слабокислотных расплавах, протекает как вторая стадия описанного выше.

Результаты работы могут быть полезны при проведении процессов стабилизации параметров протонообменных световодов [10], при изготовлении заглубленных структур, а также при отработке процессов прямого и обратного протоно-литиевого обмена, поскольку впервые получены данные об энергии активации и параметрах самодиффузии ионов водорода и лития.

### Список литературы

- [1] Ганьшин В. А., Иванов В. Ш., Коркишко Ю. Н., Петрова В. З. // ЖТФ. 1986. Т. 56. Вып. 7. С. 1354—1362.
- [2] Ганьшин В. А., Коркишко Ю. Н., Петрова В. З. // ЖТФ. 1988. Т. 58. Вып. 6. С. 1168—1170.
- [3] Komatsu K., Yamazaki S., Kondo M., Ohta Y. // J. Lightwave Technology. Vol. LT-5. N 9. P. 1239—1245.
- [4] Sugii K., Fukuma M., Iwasaki H. J. // J. Mat. Sci. 1978. Vol. 13. P. 523—533.

- [5] White J. M., Heidrich P. F. // Appl. Optics. 1976. Vol. 15. N 1. P. 151—155.  
[6] Ganxin V. A., Korkishko Yu. N., Morozova T. V. // Phys. St. Sol. (a). 1988. Vol. 110. P. 397—402.  
[7] Коркишко Ю. Н., Ганьшин В. А. // ЖТФ. 1988. Т. 58. Вып. 4. С. 692—700.  
[8] Begin G. M., Fletcher W. H. // J. Chem. Phys. 1958. Vol. 28. N 3. P. 418—425.  
[9] Ганьшин В. А., Коркишко Ю. Н., Петрова В. З. // ЖТФ. 1985. Т. 55. Вып. 11. С. 2224—2227.  
[10] Ганьшин В. А., Коркишко Ю. Н., Петрова В. З. // ЖТФ. 1988. Т. 58. Вып. 6. С. 1122—1127.

Московский институт  
электронной техники

Поступило в Редакцию  
7 апреля 1989 г.

04; 05

Журнал технической физики, т. 60, в. 9, 1990

© 1990 г.

## ОБРАЗОВАНИЕ ПЕРИОДИЧЕСКОГО РЕЛЬЕФА НА ПОВЕРХНОСТИ МЕТАЛЛОВ ПОД ДЕЙСТВИЕМ ПЛАЗМЫ ЭЛЕКТРИЧЕСКИХ РАЗРЯДОВ

C. B. Зайцев, A. L. Суворов

Использование острийных катодов на основе автоэлектронной эмиссии в широком классе современных приборов и технических устройств [1, 2] стимулирует детальное изучение их эксплуатационных и других свойств и параметров различными экспериментальными методами. Наиболее логичным здесь признано применение методов автоэлектронной и автоионной микроскопии [3], дополненных зондовыми анализами эмиссионных свойств и химического состава поверхности [4, 5]. В автоэлектронных микроскопах исследуются, как известно, процессы поверхностной диффузии, термополевой перестройки, формирование пленок, зависимость эмиссионных свойств от различных параметров, стабильность автоэлектронной эмиссии (ее шумы), долговечность катодов и т. п. В автоионных микроскопах на атомном уровне изучаются структура поверхности острий, тип и параметры присутствующих в них дефектов, влияние на структуру сильных электрических полей, различного рода облучения температуры и т. п. Одним из перспективных направлений автоионно-микроскопических исследований стал особенно в последние годы детальный анализ механических свойств острий, выяснение микромеханизмов их разрушения под действием пондеромоторных сил действующего в приборе электрического поля. Так, в [6] было впервые обращено внимание на то, что предполагаемая поверхность разрушения оплавлена и даже, возможно, аморфизирована. Там же высказано предположение, что в процессе нагружения острия некоторая зона деформируемого материала может расплавляться, в результате чего фиксируемое затупление острия является следствием эмиссии зарядов («микрокапелек») с поверхности проводящей жидкости, а не разрушение материала в традиционном смысле [7].

Вопрос этот до сих пор остается открытым, а приводимые ниже новые результаты, помимо прочего, открывают, на наш взгляд, еще одно весьма плодотворное направление в подобных исследованиях.

Прежде чем перейти к ним, отметим следующее обстоятельство. Как показывает практика, острийные катоды (так же, как и эквивалентные им образцы в автоэлектронном или автоионном микроскопе) могут прийти в негодность (разрушиться) в результате разряда во внутренней цепи — между острием и экраном микроскопа. Результат такого действия может быть в принципе различным в зависимости от мощности разряда. Разряды малой мощности (микроразряды) генерируют в приповерхностных слоях острий структурные дефекты, такие как точечные, небольшие дислокационные петли и т. п. [8]. Более мощные разряды обусловливают существенное затупление острий — удаление с их поверхности значительных объемов материала. Возможный механизм такого затупления мы и обсуждаем в настоящей работе.

И еще одно предварительное замечание. В принципе для исследования высокоскоростной деформации острия можно нагружать пондеромоторными силами электрического поля, импульсно повышая потенциал. В свою очередь это повышение можно осуществлять за счет, например, разряда во внешней цепи микроскопа. При этом такой внешний разряд может